

(19) 日本国特許庁(JP)

(12) 公開特許公報(A)

(11) 特許出願公開番号

特開2009-49100

(P2009-49100A)

(43) 公開日 平成21年3月5日(2009.3.5)

(51) Int.Cl.	F I	テーマコード (参考)
H01L 51/50 (2006.01)	H05B 33/14 A	3K107
G09G 3/30 (2006.01)	G09G 3/30 H	5C080
G09G 3/20 (2006.01)	G09G 3/20 642P	
H05B 33/08 (2006.01)	G09G 3/20 611H	
	H05B 33/08	

審査請求 未請求 請求項の数 10 O L (全 10 頁)

(21) 出願番号 特願2007-212143 (P2007-212143)  
 (22) 出願日 平成19年8月16日 (2007.8.16)

(71) 出願人 000001007  
 キヤノン株式会社  
 東京都大田区下丸子3丁目30番2号  
 (74) 代理人 100065385  
 弁理士 山下 穰平  
 (74) 代理人 100130029  
 弁理士 永井 道雄  
 (72) 発明者 丸 博之  
 東京都大田区下丸子3丁目30番2号 キ  
 ヤノン株式会社内  
 Fターム(参考) 3K107 AA01 BB01 CC24 CC31 EE67  
 HH00  
 5C080 AA06 BB05 DD01 DD05 EE28  
 JJ02 JJ03 JJ04 JJ05

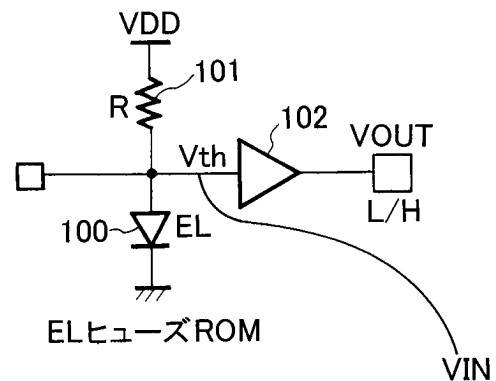
(54) 【発明の名称】 温度検出装置及びそれを備える表示装置

(57) 【要約】

【課題】表示制御、例えば温度補償、調整等のためにデジタルデータを記憶する必要がある場合、外部ROMはコストアップの原因となる。

【解決手段】表示装置の温度に対応する電圧を出力する温度センサと、表示装置が所定の温度になったときに温度センサが出力する電圧に対応したデジタルデータを保持するヒューズROMと、ヒューズROMが出力するデジタルデータを電圧に変換するデジタル/アナログコンバータと、温度センサが出力する電圧とデジタル/アナログコンバータが出力する電圧とを比較する比較器と、を備える。そして、ヒューズROMとして、表示装置に備わるEL素子を用いる。

【選択図】 図1



**【特許請求の範囲】****【請求項 1】**

表示装置の温度に対応する電圧を出力する温度センサと、  
表示装置が所定の温度になったときに前記温度センサが出力する電圧に対応したデジタルデータを保持するヒューズROMと、  
前記ヒューズROMが出力するデジタルデータを電圧に変換するデジタル/アナログコンバータと、  
前記温度センサが出力する電圧と前記デジタル/アナログコンバータが出力する電圧とを比較する比較器と、  
を備えることを特徴とする温度検出装置。

10

**【請求項 2】**

請求項 1 に記載の温度検出装置において、前記ヒューズROMは、エレクトロルミネッセンス素子を備えることを特徴とする温度検出装置。

**【請求項 3】**

請求項 1 又は 2 に記載の温度検出装置において、  
前記ヒューズROMに保持される前記表示装置が所定の温度になったときに前記温度センサが出力する電圧に対応したデジタルデータは、前記表示装置の温度が前記所定の温度以外の温度であるときに決定されることを特徴とする温度検出装置。

**【請求項 4】**

請求項 3 に記載の温度検出装置において、前記所定の温度以外の温度とは、常温であることを特徴とする温度検出装置。

20

**【請求項 5】**

請求項 3 又は 4 に記載の温度検出装置において、  
前記温度センサに流すバイアス電流を変化させることにより、前記表示装置の温度が所定の温度になったときに前記温度センサが出力する電圧を、前記温度センサから出力させることを特徴とする温度検出装置。

**【請求項 6】**

請求項 1 乃至 5 の何れか 1 項に記載の温度検出装置において、前記表示装置は、エレクトロルミネッセンス表示装置であることを特徴とする温度検出装置。

**【請求項 7】**

請求項 1 乃至 6 の何れか 1 項に記載の温度検出装置を備えることを特徴とする表示装置。

30

**【請求項 8】**

請求項 1 乃至 6 の何れか 1 項に記載の温度検出装置を備えることを特徴とするディスプレイ。

**【請求項 9】**

請求項 1 乃至 6 の何れか 1 項に記載の温度検出装置を備えることを特徴とするカメラ。

**【請求項 10】**

請求項 1 乃至 6 の何れか 1 項に記載の温度検出装置を備えることを特徴とする電子機器。

40

**【発明の詳細な説明】****【技術分野】****【0001】**

本発明は温度検出装置及びそれを備える表示装置に関する。表示装置は、特に、エレクトロルミネッセンス素子を用いたものである。

**【背景技術】****【0002】**

有機エレクトロルミネッセンス（有機EL、OLED）を用いた表示装置の開発が盛んである。

**【0003】**

50

半導体素子を用いた表示装置は、表示駆動を連続実施すると、昇温することが一般に知られている。この表示装置の昇温が続けば、表示品位を低下させる、表示素子の寿命を短くする原因となる。

【0004】

そこで、図10に示すように、表示装置の温度を絶えず検出する温度センサを表示装置内にモノリシックに配置もしくは、外部から張り合わせて構成し、表示装置の温度に応じて表示信号の周波数を最適に制御した方法が提案されている（例えば、特許文献1参照）。

【特許文献1】特開2005-181917号公報

【発明の開示】

【発明が解決しようとする課題】

【0005】

特許文献1では、表示装置の温度を検出して、高温では表示信号のフレームレートを高くし、低温では回路の動作が安定している低めのフレームレートに設定することで常に最も高い表示品位を得ることができることが記載されている。

【0006】

しかし、上記従来例は、下記の問題点を有する。

【0007】

(1) 温度を検出する温度センサの種類についてのみ述べており、温度センサのバラツキに対する補正については明記されていない。この場合、バラツキのある温度センサを用いて温度検出を行い、表示装置の表示信号のフレームレートを変えると、所望の表示品位を得ることが出来なくなる。また、温度センサのバラツキを補正する為のデータを不揮発に保持する専用の不揮発性メモリを外部に設けるとコストアップの原因となる。

【0008】

(2) 温度センサのアナログ電圧値をデジタル変換するA/Dコンバータの比較基準となる基準電圧について明記されていない。この基準電圧にバラツキがあると、温度センサのアナログ電圧値を正確にデジタル値に変換できない。バラツキのある基準電圧でアナログ/デジタル変換を行い、温度検出が正確に行えずに、表示装置の表示信号のフレームレートを変えると、所望の表示品位を得ることが出来なくなる。

【0009】

そこで本発明は、不揮発性メモリを表示装置の内部に含む温度検出装置を提供することを目的とする。

【0010】

また、本発明は、温度に対応した電圧と比較する基準電圧が安定した温度検出装置を提供することを目的とする。

【課題を解決するための手段】

【0011】

本発明の第1の観点によれば、表示装置の温度に対応する電圧を出力する温度センサと、表示装置が所定の温度になったときに前記温度センサが出力する電圧に対応したデジタルデータを保持するヒューズROMと、前記ヒューズROMが出力するデジタルデータを電圧に変換するデジタル/アナログコンバータと、前記温度センサが出力する電圧と前記デジタル/アナログコンバータが出力する電圧とを比較する比較器と、を備えることを特徴とする温度検出装置が提供される。

【0012】

上記の温度検出装置において、前記ヒューズROMは、エレクトロルミネッセンス素子を備えるようにしてもよい。

【0013】

上記の温度検出装置において、前記ヒューズROMに保持される前記表示装置が所定の温度になったときに前記温度センサが出力する電圧に対応したデジタルデータは、前記表示装置の温度が前記所定の温度以外の温度であるときに決定されるようにしてもよい。

10

20

30

40

50

## 【 0 0 1 4 】

上記の温度検出装置において、前記所定の温度以外の温度とは、常温であるようにしてもよい。

## 【 0 0 1 5 】

上記の温度検出装置において、前記温度センサに流すバイアス電流を変化させることにより、前記表示装置の温度が所定の温度になったときに前記温度センサが出力する電圧を、前記温度センサから出力させるようにしてもよい。

## 【 0 0 1 6 】

上記の温度検出装置において、前記表示装置は、エレクトロルミネッセンス表示装置であるようにしてもよい。

10

## 【 0 0 1 7 】

本発明の第2の観点によれば、上記の温度検出装置を備えることを特徴とする表示装置、ディスプレイ、カメラ又は電子機器が提供される。

## 【 発明の効果 】

## 【 0 0 1 8 】

本発明によれば、温度センサと表示装置を一对に対応させて、表示装置内のEL素子を不揮発性PROMに用いることで、温度センサのバラツキを補正できる。また温度センサのアナログ値をデジタル値に変換するA/Dコンバータの基準電圧を温度センサの計算式から導くことで正確に表示装置の温度を検出できる。さらには、既存のプロセスで作製されるEL素子を不揮発性PROMに用いることで、不揮発性メモリを外部に設ける必要がなくなり、コストのアップが無い。

20

## 【 発明を実施するための最良の形態 】

## 【 0 0 1 9 】

以下、図面を参照して本発明を実施するための最良の形態に係る実施例について詳細に説明する。

## 【 0 0 2 0 】

上記を鑑みて、本実施形態では、温度センサのバラツキを補正可能にする為に、温度センサのアナログ電圧値をデジタルに変換する際の基準電圧を変換式によって高精度に導き、この値をEL素子に用いた不揮発性PROMに書き込む。

## 【 0 0 2 1 】

EL素子を不揮発性PROMに応用する為には、EL素子に大電流の通電、もしくは大電圧を選択的に印加することで可能である。

30

## 【 実施例 1 】

## 【 0 0 2 2 】

実施例1の構成を図1に示す。

## 【 0 0 2 3 】

図1中、100はワンタイムPROM用のエレクトロルミネッセンス素子(EL素子)を示す。101はEL素子に直列に接続される抵抗Rを示す。102は $V_{IN}$ の入力電圧が閾値 $V_{th}$ を越えた時に $V_{OUT} = H$ 、 $V_{th}$ 未滿の時に $V_{OUT} = L$ になる比較器を示す。EL素子100に大電圧を印加し、又は、大電流を流すことにより、EL素子100を溶断もしくは、比較器102の入力 $V_{IN}$ が閾値 $V_{th}$ を越えるレベルまでEL素子100を劣化させることでEL素子100にL/Hのデータを不揮発に保持させる。

40

## 【 0 0 2 4 】

図2中、200はEL素子100の静特性を示す。201は前述溶断もしくは劣化させたEL素子の静特性を示す。202はEL素子100と抵抗R 101の負荷線を示す。203は溶断(劣化)させないEL素子100と抵抗R 101の負荷線から導かれた動作点を示す。203の動作点は次段の比較器102の入力 $V_{IN}$ に入力され、閾値 $V_{th}$ 以下であることを示している。204は溶断(劣化)させたEL素子100と抵抗R 101の負荷線から導かれた動作点を示す。204の動作点は次段の比較器102の入力 $V_{IN}$ に入力され、閾値 $V_{th}$ 以上であることを示している。

50

## 【0025】

図3中、300は比較器102の入力電圧 $V_{IN}$ に応じて $V_{OUT}$ 出力がL/Hに変化する特性を示し、図2の動作点203の場合（溶断劣化なし）、 $V_{th}$ 以下の為Lとなり、図2の動作点204の場合（溶断劣化有り）、 $V_{th}$ 以上の為Hとなる。

## 【0026】

上記EL素子を複数設け、溶断（劣化）を選択的に行えば、L/Hのデジタルデータが複数不揮発に保持できる。（ELヒューズROM）。

## 【0027】

なお、本発明ではEL素子をヒューズROMに用いるとしたが、電流集中で溶断が容易に起きるようなパターンとした、配線材料（AL、POL、ITO、ITZO）でも同様に成り立つ。

## 【実施例2】

## 【0028】

実施例2の構成を図4に示す。

## 【0029】

図4中、400は表示装置、401は温度センサであるダイオードでアノードとカソードをそれぞれ外部端子としてカソードをGNDに接地している。402は実施例1のELヒューズROMがnビットあるブロックで、nビットのデジタルデータをパラレルに出力している。407は表示装置400を駆動する駆動回路を示し、403はダイオード401のアノードにバイアス電流 $I_0$ を流し込む定電流源、404は電源電圧をそれぞれ示す。405はヒューズROM402からのnビットデジタルデータを入力とするデジタル/アナログコンバータ（D/Aコンバータ）を示す。406は比較器を示す。比較器406のプラス入力端子に、ダイオード401アノードにバイアス電流 $I_0$ が注入されている時のダイオードのアノード電圧 $V_F$ を入力する。また、比較器406のマイナス入力端子にD/Aコンバータ405の出力電圧を入力する。そして、比較器406は、プラス端子に印加された電圧とマイナス端子に印加された電圧を比較し、 $V_{OUT}$ にH/Lを出力する。ここで表示装置400を表示駆動させ昇温した場合、ダイオード401の $V_F$ 電圧が温度に依存して変化する。

## 【0030】

ELヒューズROMに過昇温時の $V_F$ 電圧値（正確にはD/Aコンバータの出力）となるデジタルデータを書き込み、表示装置のダイオード電圧 $V_F$ と過昇温時の $V_F$ 電圧値を絶えず比較することで表示装置が過昇温になったか判別できる。

## 【0031】

次に過昇温時のダイオード電圧 $V_F$ の値を求める方法を述べる。

## 【0032】

図5中、500はダイオード401にバイアス電流 $I_0$ を流入させた時に発生する電圧 $V_F$ で、このバイアス電流を一定にした時の温度変化を示す。

## 【0033】

501～503はダイオード401にバイアス電流 $I_x$ を流入させた時に発生する電圧 $V_F$ で、このバイアス電流を一定にした時の温度変化を示す。504はダイオード401にバイアス電流 $I_0$ を流入させて、温度 $T_{60}$ の時の電圧 $V_F(T_{60}, I_0)$ を示す。505はダイオード401にバイアス電流 $I_x$ を流入させて、温度 $T_{25}$ （常温）時の電圧 $V_F(T_{25}, I_x)$ を示す。ここで $V_F(T_{60}, I_0)$  504と $V_F(T_{25}, I_x)$  505は温度、バイアス電流が違うが同じ電圧を示す。

## 【0034】

上記 $V_F(T_{60}, I_0) = V_F(T_{25}, I_x)$ 条件を満たす計算式を図6に示す。

## 【0035】

図6に示す計算式を用いれば $T_{25}$ （常温）でも、実際に過昇温 $T_{60}$ まで表示装置を表示駆動させる必要なく、温度 $T_{60}$ 時のダイオードの $V_F$ を求めることが出来る。このダイオード電圧 $V_F$ を出力させながら比較器102にデジタルデータを0から順次カウン

10

20

30

40

50

トアップさせていく。比較器406の出力 $V_{OUT}$ がHIGHからLOWに変化した時、その時のデジタルデータをELヒューズROM402に書き込むデータとして決定する。

【0036】

以上述べた様に温度センサにバラツキがあってもそのセンサに応じた適切なデータがヒューズROMに保持される為に、センサのバラツキの影響による温度の誤検出がなく正確に温度を検出できる。

【0037】

なお本式では昇温について述べてあるが、温度が低い場合も同様に成り立つ。また本式は常温 $T_{25}$ で温度 $T_{60}$ のダイオード電圧 $V_F$ を求める方法を示したが、一方の温度で他方の温度時のダイオード電圧 $V_F$ を求めることは同様に可能である。

【実施例3】

【0038】

実施例3の構成を図7に示す。

【0039】

図7中、700は表示装置、701は温度センサであるダイオードでアノードとカソードをそれぞれ外部端子としてカソードをGNDに接地している。702は実施例1のELヒューズROMが $n$ ビット $\times$  $m$ 個あるブロックで、 $n \times m$ ビットのデジタルデータをパラレルに出力している。703はELヒューズROM702の平行データをシリアルに変換するPI/SO回路ブロックである。710は表示装置700を駆動する駆動回路を示し、704はダイオード701のアノードにバイアス電流 $I_0$ を流入させる定電流源、705は電源電圧をそれぞれ示す。

【0040】

706はPI/SO回路ブロック703の出力を入力し、シリアルデータを平行データに変換するSI/PO回路ブロックを示す。707はSI/PO回路ブロックの平行データをラッチして保持するためのLT回路ブロックを示す。708はLT回路ブロック707の $n$ ビットデジタルデータを入力とするデジタル/アナログコンバータ(D/Aコンバータ)を示す。比較器709はプラス入力端子にダイオード701アノードにバイアス電流 $I_0$ が注入されている時のダイオードの電圧 $V_F$ を入力する。また、比較器709はマイナス入力端子( $V_{ref1} \sim m$ )にD/A701の出力電圧を入力する。そして、比較器709はプラス端子に印加された電圧とマイナス端子に印加された電圧を比較し、 $V_{OUT1} \sim V_{OUTm}$ にH/Lを出力する。

【0041】

ここで表示装置700を表示駆動させ昇温した場合、ダイオード701のアノード電圧 $V_F$ が温度に依存して変化する。ELヒューズROMに任意温度時の $m$ 個のアノード電圧値(正確にはD/Aコンバータの出力)となるデジタルデータを書き込み、表示装置のアノード電圧 $V_F$ と任意温度時の $m$ 個の $V_F$ 電圧値を絶えず比較することで表示装置が任意温度になったか判別できる。

【0042】

次に任意温度時のダイオード電圧 $V_F$ の値を求める方法を述べる。

【0043】

図8中、800はダイオード701にバイアス電流 $I_0$ を流入させた時に発生する電圧 $V_F$ で、このバイアス電流を一定にした時の温度変化を示す。801~804はダイオード701にバイアス電流 $I_x$ を流入させた時に発生する電圧 $V_F$ で、このバイアス電流を一定にした時の温度変化を示す。809はダイオード701にバイアス電流 $I_0$ を流入させて、温度 $Temp_{30}$ の時の電圧 $V_F(Temp_{30}, I_0)$ を示す。810はダイオード701にバイアス電流 $I_0$ を流入させて、温度 $Temp_{35}$ の時の電圧 $V_F(Temp_{35}, I_0)$ を示す。811はダイオード701にバイアス電流 $I_0$ を流入させて、温度 $Temp_{40}$ の時の電圧 $V_F(Temp_{40}, I_0)$ を示す。812はダイオード701にバイアス電流 $I_0$ を流入させて、温度 $Temp_x$ の時の電圧 $V_F(Temp_x, I_0)$ を示す。805はダイオード701にバイアス電流 $I_x$ を流入させて、温度 $Temp_2$

10

20

30

40

50

5 (常温)時の電圧 $V_F(\text{Temp}_{25}, I_X)$ を示す。806はダイオード701にバイアス電流 $I_X'$ を流入させて、温度 $\text{Temp}_{25}$ (常温)時の電圧 $V_F(\text{Temp}_{25}, I_X')$ を示す。807はダイオード701にバイアス電流 $I_X''$ を流入させて、温度 $\text{Temp}_{25}$ (常温)時の電圧 $V_F(\text{Temp}_{25}, I_X'')$ を示す。808はダイオード701にバイアス電流 $I_X'''$ を流入させて、温度 $\text{Temp}_{25}$ (常温)時の電圧 $V_F(\text{Temp}_{25}, I_X''')$ を示す。ここで $V_F(\text{Temp}_{30}, I_0)$ 809と $V_F(\text{Temp}_{25}, I_X)$ 805は温度、バイアス電流が違うが同じ電圧を示す。同様に $V_F(\text{Temp}_{35}, I_0)$ 810と $V_F(\text{Temp}_{25}, I_X')$ 806は温度、バイアス電流が違うが同じ電圧を示す。 $V_F(\text{Temp}_{40}, I_0)$ 811と $V_F(\text{Temp}_{25}, I_X'')$ 807は温度、バイアス電流が違うが同じ電圧を示す。 $V_F(\text{Temp}_X, I_0)$ 812と $V_F(\text{Temp}_{25}, I_X''')$ 808は温度、バイアス電流が違うが同じ電圧を示す。

10

## 【0044】

上記の条件

$$V_F(\text{Temp}_{30}, I_0) = V_F(\text{Temp}_{25}, I_X)$$

$$V_F(\text{Temp}_{35}, I_0) = V_F(\text{Temp}_{25}, I_X')$$

$$V_F(\text{Temp}_{40}, I_0) = V_F(\text{Temp}_{25}, I_X'')$$

$$V_F(\text{Temp}_X, I_0) = V_F(\text{Temp}_{25}, I_X''')$$

を満たす計算式は図6と同様である。

## 【0045】

図6に示す計算式を用いれば、 $\text{Temp}_{25}$ (常温)でも、実際に任意温度まで表示装置を表示駆動させる必要なく、任意温度時のダイオードの $V_F$ を求めることができる。このダイオード電圧 $V_F$ を出力させながら比較器102にデジタルデータを0から順次カウントアップさせていく。パラレル-シリアル変換後、再度シリアル-パラレル変換させて、これをラッチして、比較器709の出力 $V_{OUT}$ がHIGHからLOWに変化した時、その時のデジタルデータをELヒューズROM702に書き込む、これを任意温度回数分実施する。

20

## 【0046】

図9に $V_{OUT1} \sim V_{OUTm}$ のデジタル出力を示す。

## 【0047】

なお表示装置700と駆動回路710間のパラレル-シリアル、シリアル-パラレル変換回路において、表示装置と駆動回路の接続端子数を1つとしてあるが、接続端子数を複数パラレルにすることも可能である。

30

## 【産業上の利用可能性】

## 【0048】

本発明は、エレクトロルミネッセンス表示部を備えるディスプレイやカメラなどの電子機器に利用することができる。

## 【図面の簡単な説明】

## 【0049】

【図1】ELヒューズROMを示した回路図である。

40

【図2】EL素子と抵抗の負荷線を示した特性図である。

【図3】バッファ回路の入出力特性を示した図である。

【図4】表示装置の過昇温を検出する方法を示したブロック図である。

【図5】ダイオードの温度特性を示した図である。

【図6】一方温度で他方温度の $V_F$ を算出するバイアス電流を導くダイオードの理論式を示した図である。

【図7】表示装置の任意温度を検出する方法を示したブロック図である。

【図8】ダイオードの温度特性を示した図である。

【図9】任意温度とデジタル出力値の関係を示した図である。

【図10】従来例の表示装置を示した図である。

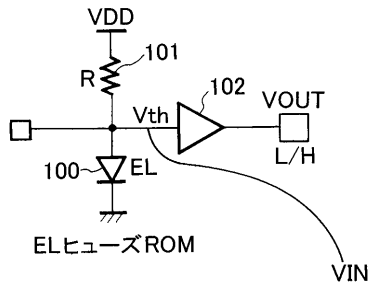
50

## 【符号の説明】

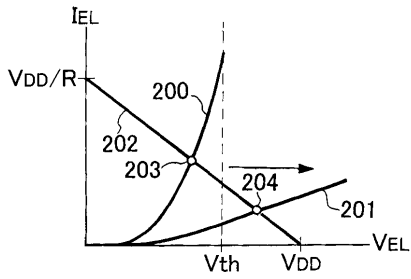
## 【0050】

100	EL素子	
101	抵抗R	
102	比較器	
200	EL素子のV-I特性	
201	劣化(溶断)させたEL素子のV-I特性	
202	抵抗Rの負荷線	
203	EL素子と抵抗Rの動作点	
204	EL素子(劣化)と抵抗Rの動作点	10
300	バッファ回路の入出力特性	
400	表示装置	
401	温度センサ	
402	ELヒューズROM1	
403	定電流源 $I_0$	
404	電源	
405	D/A	
406	比較器	
407	駆動回路	
500	バイアス電流 $I_0$ 時のダイオードの温度特性	20
501~503	バイアス電流 $I_x$ 時のダイオードの温度特性	
504	温度 $T_{60}$ 、バイアス電流 $I_0$ のダイオード電圧	
505	温度 $T_{25}$ 、バイアス電流 $I_x$ のダイオード電圧	
700	表示装置	
701	温度センサ	
702	ELヒューズROM	
703	パラレル/シリアル変換回路	
704	定電流源 $I_0$	
705	電源	
706	シリアル/パラレル変換回路	30
707	ラッチ回路	
708	D/A	
709	比較器	
710	駆動回路	
800	バイアス電流 $I_0$ 時のダイオードの温度特性	
801~804	バイアス電流 $I_x$ 時のダイオードの温度特性	
805	温度 $Temp_{25}$ 、バイアス電流 $I_x$ のダイオード電圧	
806	温度 $Temp_{25}$ 、バイアス電流 $I_x'$ のダイオード電圧	
807	温度 $Temp_{25}$ 、バイアス電流 $I_x''$ のダイオード電圧	
808	温度 $Temp_{25}$ 、バイアス電流 $I_x'''$ のダイオード電圧	40
1000	表示パネル	
1001	画素	
1002	列選択ドライバ	
1003	行選択ドライバ	
1004	温度センサ	
1010	駆動回路	
1011	ビデオドライバ	
1012	A/D	

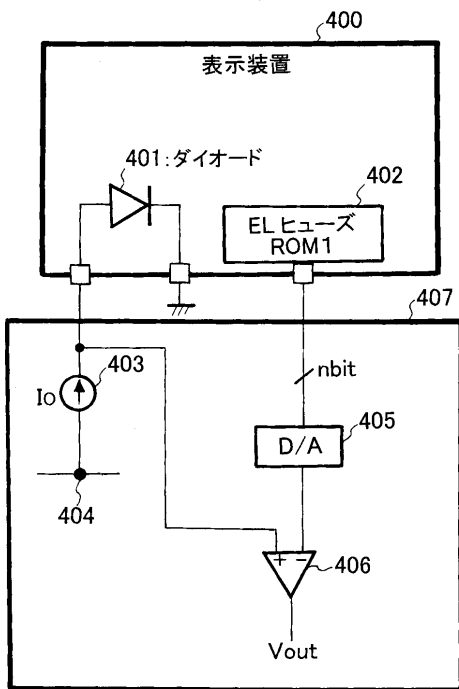
【 図 1 】



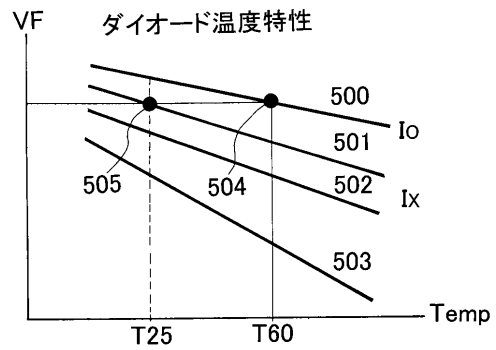
【 図 2 】



【 図 4 】



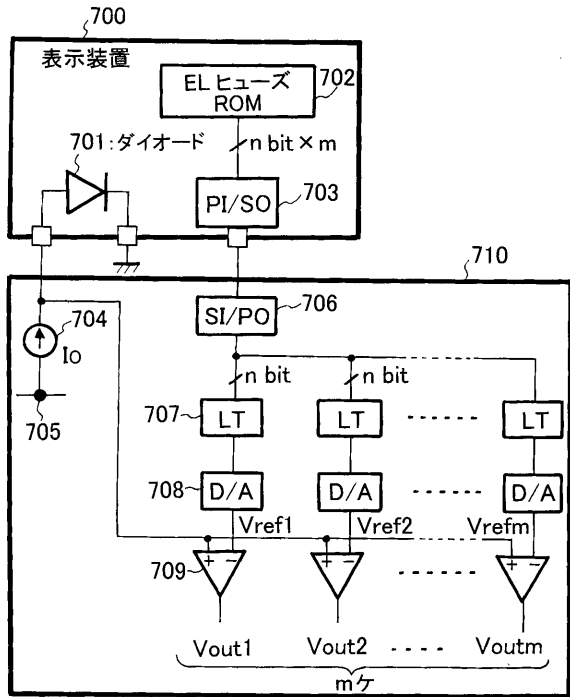
【 図 5 】



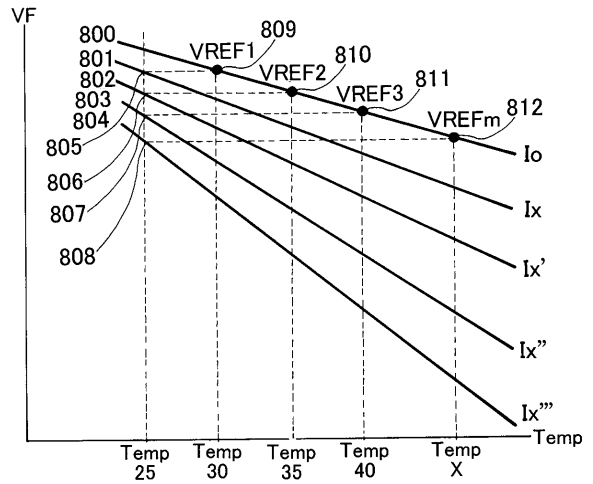
【 図 6 】

$$I_x = \frac{I_o \cdot \exp\{qVF(T_{25}, I_o)(T_{60} - T_{25})\}}{K \cdot T_{25} \cdot T_{25}}$$

【 図 7 】



【 図 8 】

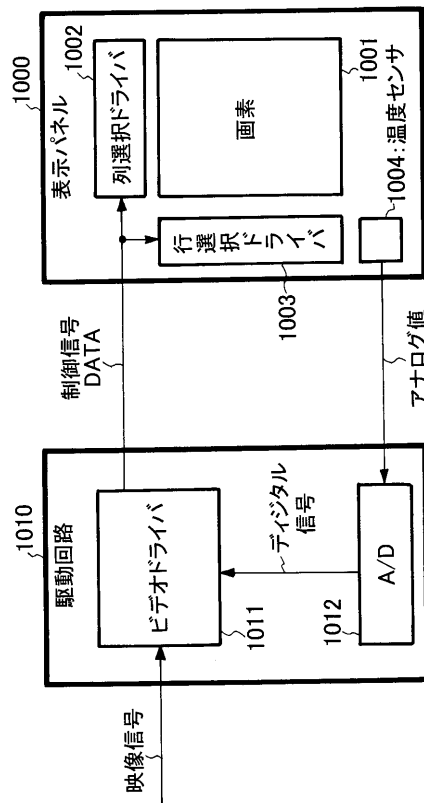


【 図 9 】

温度のデジタル出力

	Temp25	Temp30	Temp35	Temp40	Temp45	Temp50	Temp55	Temp60	TempX
Vout1	0	1	1	1	1	1	1	1	1
Vout2	0	0	1	1	1	1	1	1	1
Vout3	0	0	0	1	1	1	1	1	1
Vout4	0	0	0	0	1	1	1	1	1
Vout5	0	0	0	0	0	1	1	1	1
Vout6	0	0	0	0	0	0	1	1	1
...	...	...	...	...	...	...	...	...	...
Voutm	0	0	0	0	0	0	0	0	1

【 図 10 】



专利名称(译)	温度检测装置和具有该装置的显示装置		
公开(公告)号	<a href="#">JP2009049100A</a>	公开(公告)日	2009-03-05
申请号	JP2007212143	申请日	2007-08-16
[标]申请(专利权)人(译)	佳能株式会社		
申请(专利权)人(译)	佳能公司		
[标]发明人	丸博之		
发明人	丸 博之		
IPC分类号	H01L51/50 G09G3/30 G09G3/20 H05B33/08		
FI分类号	H05B33/14.A G09G3/30.H G09G3/20.642.P G09G3/20.611.H H05B33/08		
F-TERM分类号	3K107/AA01 3K107/BB01 3K107/CC24 3K107/CC31 3K107/EE67 3K107/HH00 5C080/AA06 5C080/BB05 5C080/DD01 5C080/DD05 5C080/EE28 5C080/JJ02 5C080/JJ03 5C080/JJ04 5C080/JJ05 5C380/AA00 5C380/AA08 5C380/AB04 5C380/AC09 5C380/BA28 5C380/BA42 5C380/CE04 5C380/CF05 5C380/CF09 5C380/CF41 5C380/CF48 5C380/CF49 5C380/CF61 5C380/CF67 5C380/FA04 5C380/FA28		
代理人(译)	永井道雄		
外部链接	<a href="#">Espacenet</a>		

摘要(译)

当需要存储数字数据以进行显示控制(例如温度补偿和 $\gamma$ 调节)时,外部ROM会导致成本增加。输出与显示装置的温度相对应的电压的温度传感器,在显示装置达到预定温度时保持与由温度传感器输出的电压相对应的数字数据的熔丝ROM以及熔丝ROM所述数字/模拟转换器用于将所述转换器输出的数字数据转换为电压,并且所述比较器用于将所述温度传感器输出的电压与所述数字/模拟转换器输出的电压进行比较。然后,将设置在显示装置中的EL元件用作熔丝ROM。[选型图]图1

